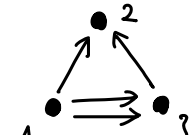


4. クラスター代数との関係

Fomin-Zelevinsky 2002～
Fock-Goncharov

日本語で読めるもの：数理科学 2015年3月 “団代数をめぐって” 中西知樹編

クラスター代数とは

 $n \geq 1$ 固定⑩ 種 (seed) とは 3つ組 (B, α, γ) $B = [b_{ij}]_{i,j=1}^n$: 歪対称 (化可能) 行列, $b_{ij} \in \mathbb{Z}$ $\alpha = (\alpha_i)_{i=1}^n, \gamma = (\gamma_i)_{i=1}^n$: 変数の組(注) B は度々 箭 (arrow, quiver) と同一視される。(例) $B = \begin{bmatrix} 0 & 1 & 2 \\ -1 & 0 & -1 \\ -2 & 1 & 0 \end{bmatrix}$ \longleftrightarrow  $b_{ij} = \#(\overset{i}{\rightarrow} j) - \#(\overset{i}{\leftarrow} j)$

⑪ 変異 (mutation) とは 種 から別の種を作る操作

ここでは FZ とは少し異なる Version である “符号付き変異” を導入する。

 $\varepsilon = \pm 1$ と $k \in \{1, \dots, n\}$ に対して, $\mu_k^{(\varepsilon)} : (B, \alpha, \gamma) \mapsto (B', \alpha', \gamma') = ([b'_{ij}], (\alpha'_i), (\gamma'_i))$

を次で定める：

$$b'_{ij} := \begin{cases} -b_{ij} & (i=k \text{ or } j=k) \\ b_{ij} + [-b_{ik}]_+ b_{kj} + b_{ik} [b_{kj}]_+ & (i \neq k \text{ and } j \neq k) \end{cases}$$

ここで, $[a]_+ := \max\{a, 0\}$,

$$y'_i = \begin{cases} y_k^{-1} & (\bar{i}=k) \\ y_i y_k^{[\varepsilon b_{k\bar{i}}]} + & (\bar{i} \neq k) \end{cases} \quad \hat{y}_i := y_i \prod_{j=1}^n x_j^{b_{j\bar{i}}}$$

$$x'_i = \begin{cases} x_k^{-1} \left(\prod_{j=1}^n x_j^{[-\varepsilon b_{jk}]} + \right) (1 + \hat{y}_k^\varepsilon) & (\bar{i}=k) \\ x_i & (\bar{i} \neq k) \end{cases}$$

定義終
□

(注) mutation のよくある式は

$$x'_k = x_k^{-1} \left(\prod x_i^{b_{ik}} + \prod x_i^{b_{ik}} \right) = x_k^{-1} \left(\prod x_i^{b_{ik}} \right) (1 + \prod x_i^*)$$

□

(注) y_i は係数, これは係数が "トロピカル半体" に値をもつ係数付きの
クラスター代数の変数 ε を "トロピカル符号" に取ったものに一致する.

□

レポート問題 6

上で定めた $\hat{y}_i = y_i \prod_{j=1}^n x_j^{b_{ji}}$ の mutation が次の形になることを示せ:

$$\hat{y}'_i = \begin{cases} \hat{y}_k^{-1} & (\bar{i}=k), \\ \hat{y}_i \hat{y}_k^{[\varepsilon b_{k\bar{i}}]} + (1 + \hat{y}_k^\varepsilon)^{-b_{ki}} & (\bar{i} \neq k). \end{cases}$$

□

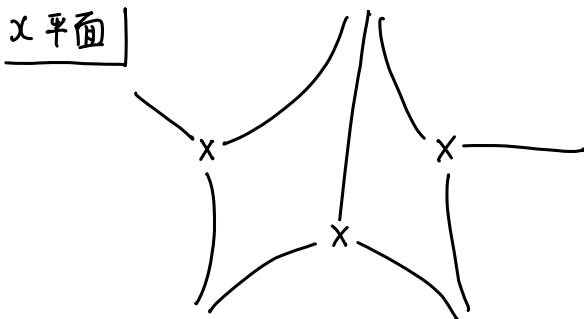
今日: WKB 解析における様々な量がクラスター代数を実現することを見た.

WKB $\rightarrow B = [b_{ij}]$ or 箱 (quiver)(II) Stokes グラフ $\longmapsto B = [b_{ij}]$ or quiver

仮定 • 変わり点はすべて単純である.

• 単純極はない. (この条件を外すと, Chekhov-Schapira の
一般クラスター代数が現われる. orbifold の三角形分割 ...)• Stokes グラフは Stokes セグメントを持たない.
(方向 θ はこうなるように fix する.)以下, しばらく方向 θ は固定されていくと仮定する.

例 $Q(x) = x^3 + ax + b \quad (a, b \in \mathbb{C}, \text{ generic})$ (3-3)



Stokes 曲線は generic の仮定のもとで
常に左のように図る。

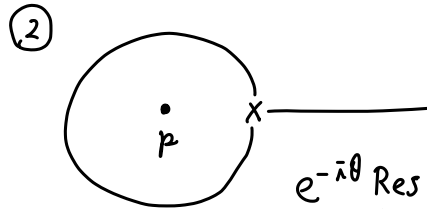
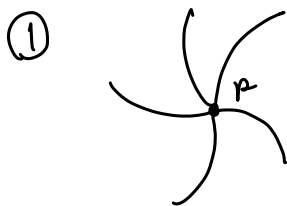
事実 (Strebel, Quadratic differential)

- $Q(x) dx^2$ の m 位の極には $(m-2)$ 本の Stokes 曲線の漸近方向がある ($m \geq 3$),

$$x = \frac{1}{z} \text{ とおくと, } Q(x) dx^2 = \left(\frac{1}{z^3} + \frac{a}{z} + b \right) \frac{dz^2}{z^4} = \left(\frac{1}{z^7} + \dots \right) dz^2.$$

$m = 7$ 位の極, $x = \infty$ に $m-2 = 5$ 方向から Stokes 曲線が流れこんでいる。

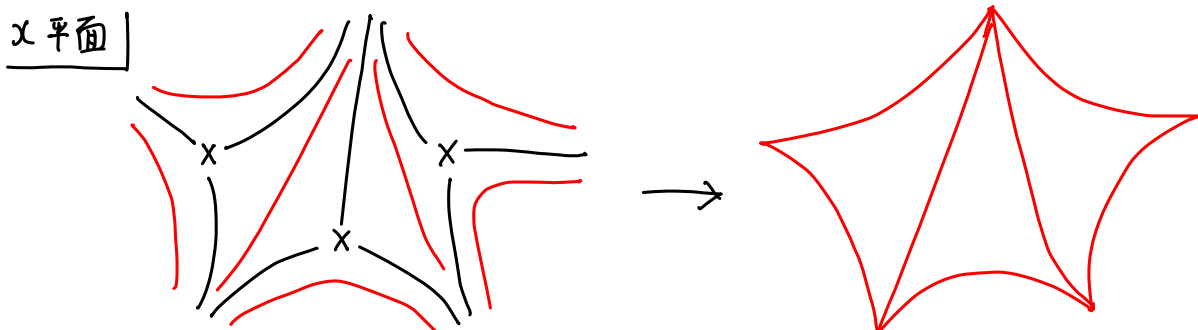
事実 続き • 位数 2 の極のまわりの Stokes 曲線は次の 2 パターンのどちらか!



$$e^{-i\theta} \operatorname{Res}_{x=p} \sqrt{Q} dx \in i\mathbb{R} \text{ のとき}$$

各 Stokes 領域内の軌道をひとつずつ書く。

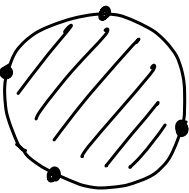
$$\operatorname{Im} \left(e^{-i\theta} \int^x \sqrt{Q} dx \right) = \text{const.} \text{ で定まる曲線}$$



右上の  のように境界付き曲面の 三角形分割 が得られる。
→ 全ての変わり点は単純なことより

以上のアイデアは $\left\{ \begin{array}{l} \text{Gaiotto-Moore-Neitzke} \\ \text{Bridgeland-Smith} \end{array} \right.$

注) \bullet m位の極 \mapsto
 $m \geq 3$



$(m-2)$ 点付き境界成分

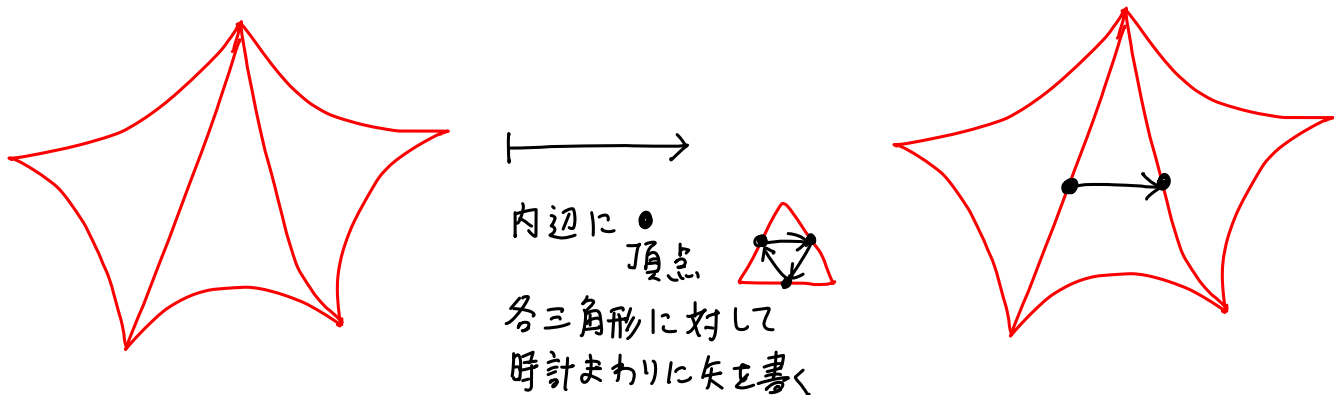
\bullet 2位の極 \mapsto \bullet : 穴 (puncture)

たゞ正確には、境界付き穴あき曲面の三角形分割がべき式

\bullet Stokes領域は四角形又は二角形、

二角形の Stokes領域 \mapsto 境界成分

四角形の Stokes領域 \mapsto 内辺 (diagonal)



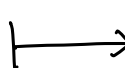
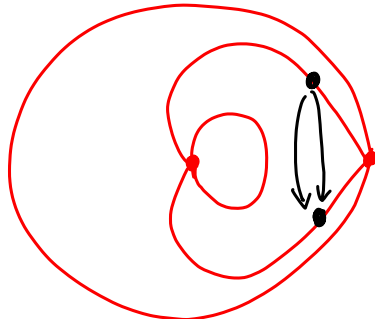
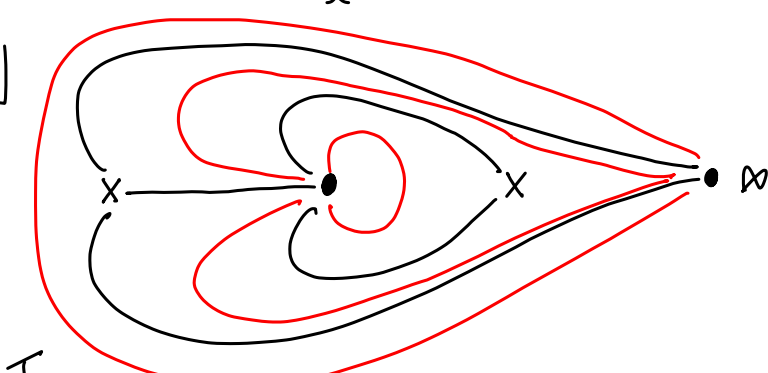
他の例

$$Q(x) dx^2 = \frac{x^2 + ax + b}{x^3} dx^2$$

$x=0$
 $x=\infty$

ともに3位の極

x 平面



$A_1^{(1)}$ 型

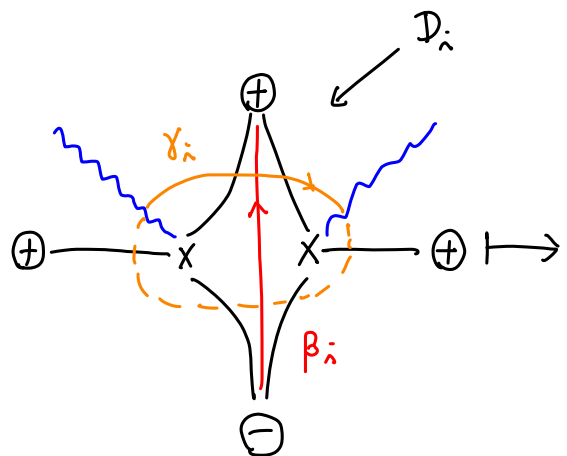
得られた扇の各頂点にラベル $1, 2, \dots, n$ を付ける。

すなはち 四辺形の Stokes 領域 にラベル $1, 2, \dots, n$ を付ける。
 n 個だとする。

以上によって, $B = [b_{ij}]_{i,j=1,\dots,n}$ が得られる。 $B = [b_{ij}] \leftrightarrow \text{quiver}$

i 番目の四辺形 Stokes 領域を D_i と表す。

$$\left\{ \begin{array}{l} \oplus \leftrightarrow \operatorname{Re} \int^x \sqrt{Q} dx > 0 \\ \ominus \leftrightarrow \operatorname{Re} \int^x \sqrt{Q} dx < 0 \end{array} \right. \quad \text{ブランチのとり方}$$



2つの Voronoi 係数

$$\left\{ \begin{array}{l} W_{\beta_i} := \int_{\beta_i} (P_{\text{odd}}(x, t) - t^{-1} \sqrt{Q(x)}) dx \\ V_{\gamma_i} := \oint_{\gamma_i} P_{\text{odd}}(x, t) dx \end{array} \right.$$

• β_i は $\operatorname{Re} \int^x \sqrt{Q} dx$ が増加する方向に向きを付ける。

• γ_i は $\langle \gamma_i, \beta_i \rangle = +1$ となる向きであるとする。

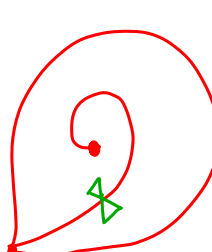
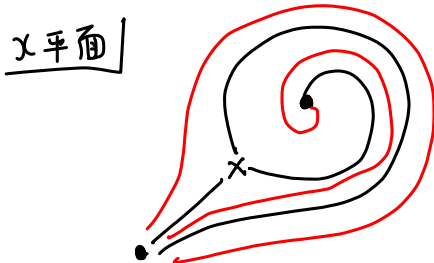
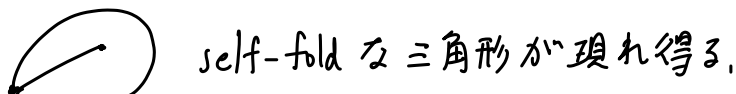
→ 交点形式は $\langle x\text{軸}, y\text{軸} \rangle = +1$ と定める。

(注) ブランチの second sheet に β_i を covering involution $\sigma: \Sigma \xrightarrow{\sim} \Sigma$ でうつすと,

$\tilde{\beta}_i := -\sigma_* \beta_i$ も上の条件を満たすが, $P_{\text{odd}}(\sigma(x), t) = -P_{\text{odd}}(x, t)$ なので

$W_{\tilde{\beta}_i} = W_{\beta_i}$ となる, $\langle \gamma_i, \tilde{\beta}_i \rangle = +1$ となることに注意せよ。

(注) 2位の極があると, ちょっと微妙なことがある,



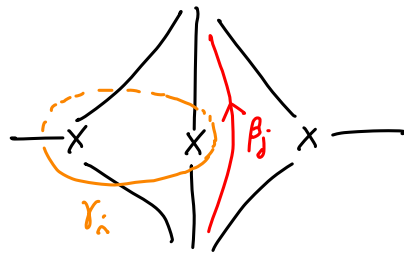
“タグ付き三角形分割”

これが生じているときには
 β_i, γ_i の取り方をうまく
修正する必要がある。

かなりテクニカル

補題

$$① \langle \gamma_i, \beta_j \rangle = \delta_{ij}$$



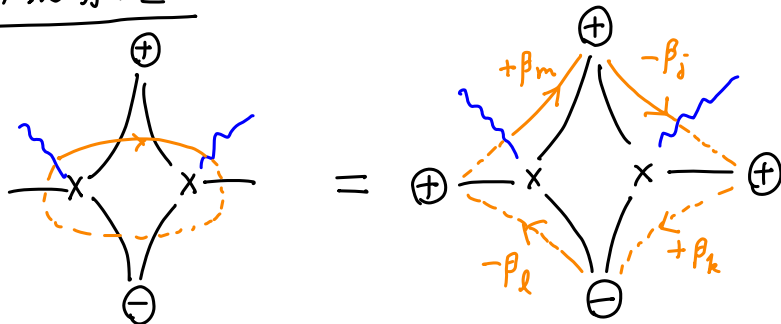
β_j どうしは
端点でのみ交わる
極

3-6

$$② \langle \gamma_i, \gamma_j \rangle = b_{ij}$$

$$③ \gamma_j = \sum_{i=1}^n b_{ij} \beta_i$$

③の説明の図



x_i, \hat{y}_i と次のように定める:

$$\begin{cases} x_i := \mathcal{S}_\theta [\exp(W_{\beta_i})] \\ \hat{y}_i := \mathcal{S}_\theta [\exp(V_{\gamma_i})] \end{cases} \quad W_{\beta_i} := \int_{\beta_i} (P_{\text{odd}} - \frac{1}{\hbar} \sqrt{Q}) dx$$

$$V_{\gamma_i} := \oint_{\gamma_i} P_{\text{odd}} dx$$

補題の③より

$$\hat{y}_i = y_i \prod_{j=1}^n x_j^{b_{ji}}, \quad \text{where } y_i := \exp\left(\frac{1}{\hbar} \oint_{\gamma_i} \sqrt{Q(x)} dx\right).$$

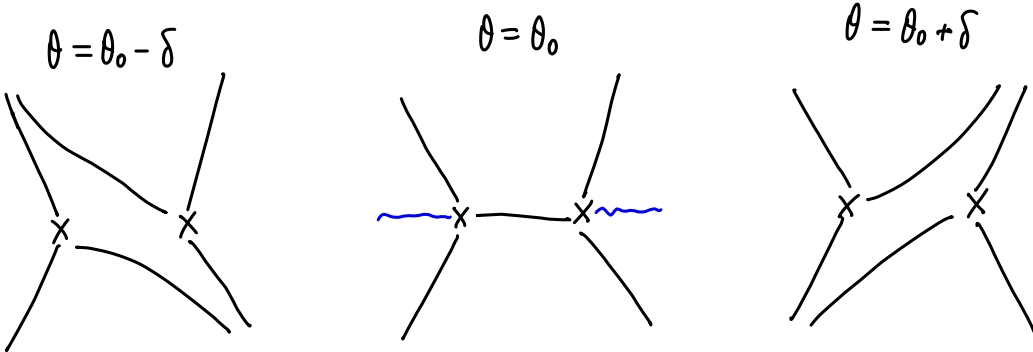
まとめ θ を決めるごとに (Stokesセグメントがなければ) $Q(x) dx^2$ の
種 $(B, x, y) = ([b_{ij}], (x_i), (y_i))$ が得られる。

注 Stokesセグメントがあると, $\mathcal{S}_\theta [\quad]$ がうまく定義されない,
三角形分割もできなくなる



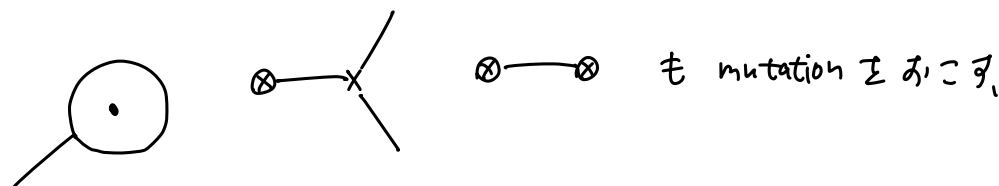
④ Stokes グラフの変異

ある方向 θ_0 における Stokes グラフに Stokes セグメントが生じたとする,

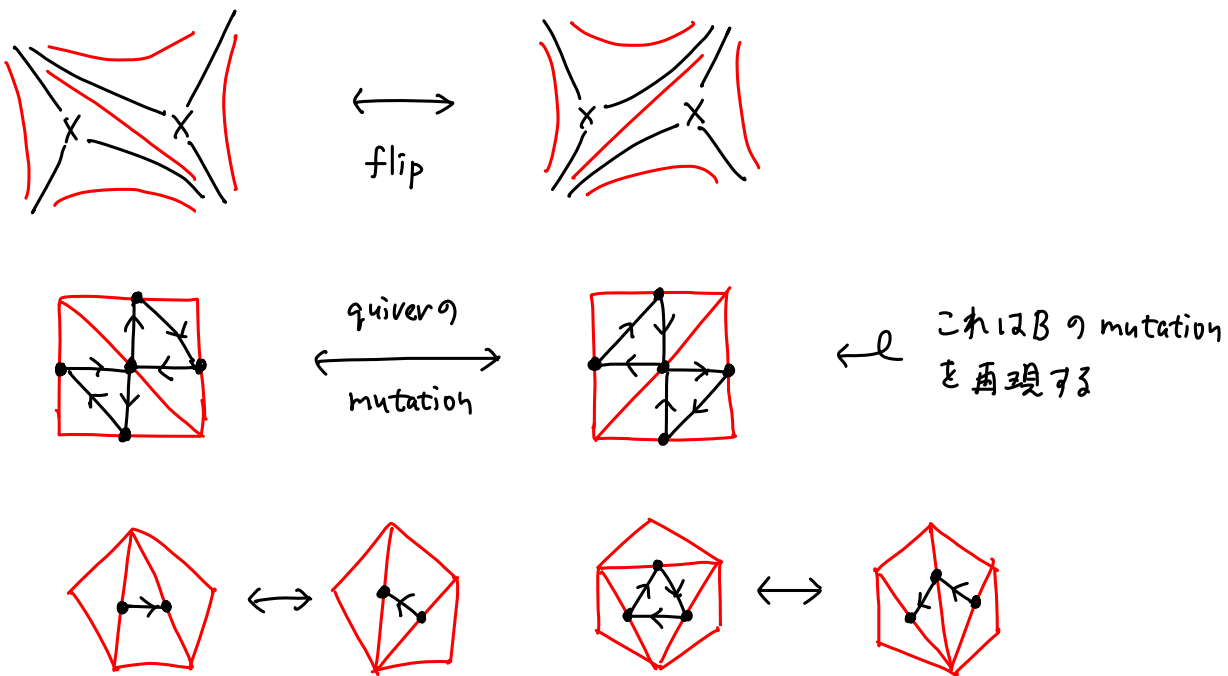


これを Stokes グラフの mutation と呼ぶ。

Stokes グラフの出現に応じて, Stokes グラフが不連続に変化することを "Stokes グラフの変異" と呼ぶ。



⑤ Stokes セグメントが 2 つの異なる変わり点を結んでいるとき,



$$\theta = \theta_0 - \delta$$

$$\theta = \theta_0 + \delta$$

$\varepsilon = \pm 1$ 工固念

3-8

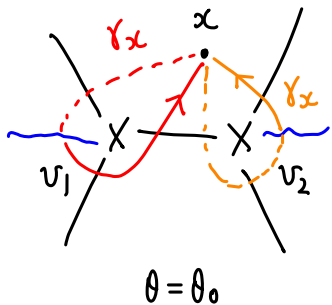
$(B, x, y) \models \theta = \theta_0 - \varepsilon \delta$ のときの種類
 $(B', x', y') \models \theta = \theta_0 + \varepsilon \delta$ のときの種類
 とする。

定理 (Iwaki-Nakanishi 2014)

(B, x, y) と (B', x', y') は符号付きの変量で移り合う. \square

鍵となる事実

定理 (cf. Delabaere-Dillingor-Pham 93, Aoki-Kawai-Takei 08)



ψ_{\pm} : v_1 または v_2 で正規化 $\left(\begin{array}{l} \text{左図} \\ \downarrow \\ v_2 \text{ で正規化} \end{array} \right)$

と“了”でも以下が成立

$$\text{and, } \mathcal{S}_{\theta_0 + \varepsilon\delta}[\psi_{\pm}] = \mathcal{S}_{\theta_0 - \varepsilon\delta}[\psi_{\pm}] \left(1 + \mathcal{S}_{\theta_0 - \varepsilon\delta}[e^{V_{\theta_0}}]\right)^{\mp \frac{1}{2} \langle \gamma_0, \gamma_x \rangle}$$

たただし、 の向きは $\operatorname{Re}\left(e^{-i\theta} \oint_{\gamma_0} \sqrt{Q} dx\right) < 0$ となるように定めよ。

$$S_{\theta_0 - \varepsilon \delta} [e^{V_{\theta_0}}] \underset{\hbar \rightarrow 0}{\sim} \exp \left(\frac{1}{\hbar} \oint_{\theta_0} \sqrt{Q} d\alpha \right) (1 + O(\hbar))$$

↑ 指数的 n 小大

(注) べきの $\frac{1}{2}$ は $\int_v^x P_{\text{odd}} dx \stackrel{\text{def.}}{=} \frac{1}{2} \int_{x_0}^x P_{\text{odd}} dx$ の $\frac{1}{2}$ が \circlearrowleft 来て \circlearrowleft いる。

Cor. $\forall \gamma \in H_1(\Sigma, \mathbb{Z}) \forall \beta \in H_1(\Sigma, \mathbb{P}; \mathbb{Z}),$ (111)

$$\mathcal{S}_{\theta_0 + \varepsilon\delta} [e^{V_r}] = \frac{\mathcal{S}_{\theta_0 - \varepsilon\delta} [e^{V_r}]}{e^{W_\beta}} \left(1 + \mathcal{S}_{\theta_0 - \varepsilon\delta} [e^{V_{\theta_0}}] \right)^{-\frac{\langle \theta_0, \gamma \rangle}{\beta}}$$

証明は Weber の場合の計算の帰着するという方法を使う、

Weber $Q(x) = \frac{x^2}{4} - E$ のとき、

$$W_\beta = \sum \frac{(2^{1-2n}-1) B_{2n}}{2n(2n-1)} \left(\frac{\hbar}{E}\right)^{2n-1} \text{ であり},$$

これの Borel 変換は周期的に特異点を持つ。

一般の場合 Weber の場合に帰着

$$(1 + \mathcal{S}_{\theta_0 - \varepsilon\delta} [e^{V_{r_0}}])^k \underset{\hbar \rightarrow 0}{\sim} 1 + k \underbrace{e^{\frac{V_{r_0}}{\hbar}}}_{\substack{\parallel \\ \text{特異点の位置}}} + \binom{k}{2} \underbrace{e^{2\frac{V_{r_0}}{\hbar}}}_{\substack{\parallel \\ \exp\left(\frac{1}{\hbar} \int_{r_0} \sqrt{Q} dx\right)}} + \dots$$

$$\times (1 + O(\hbar))$$

$$\times \left(1 + O\left(\frac{1}{\hbar}\right)\right)$$

結論の式

$$x'_i = \begin{cases} x_k^{-1} \left(\prod_{j=1}^n x_j^{[-\varepsilon b_{jk}]_+} \right) (1 + \hat{y}_k^\varepsilon) & (i=k) \\ x_i & (i \neq k) \end{cases}$$

DDP 公式 より

$1 + \hat{y}_k^\varepsilon$ の因子は

Stokes 現象を記述

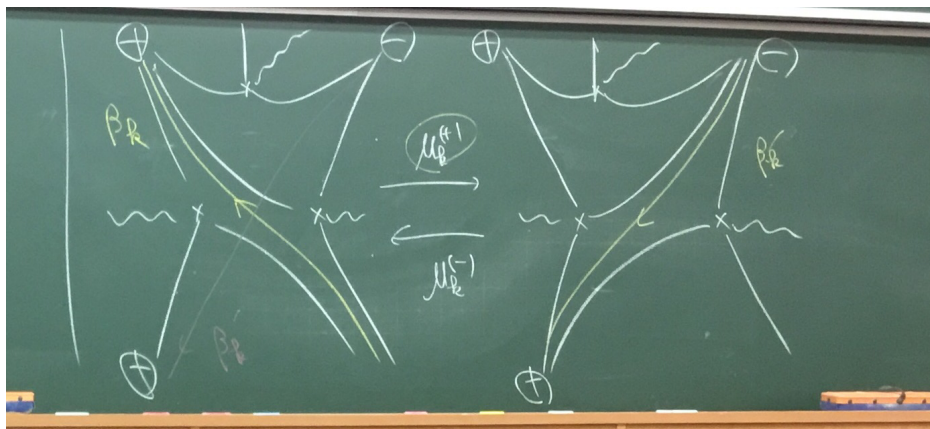
$$\hat{y}'_i = \begin{cases} \hat{y}_k^{-1} & (i=k) \\ \hat{y}_i \hat{y}_k^{[\varepsilon b_{ki}]_+} (1 + \hat{y}_k^\varepsilon)^{-b_{ki}} & (i \neq k) \end{cases}$$

DDP 公式 より

モノミアルの mutation 部分の説明は以下の通り、(——以外の部分の説明)

次ページへ

鍵となる事実 2

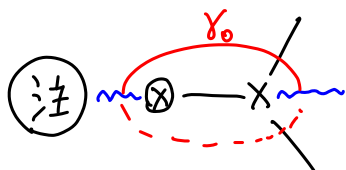


命題

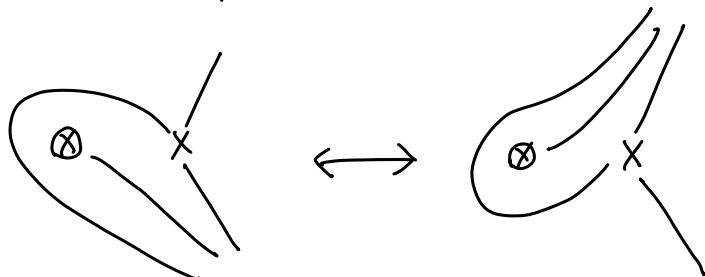
$$\beta'_i = \begin{cases} -\beta_k + \sum_{j=1}^n [-\varepsilon b_{jk}] + \beta_j & (i=k) \\ \beta_i & (i \neq k) \end{cases}$$

これは パス/サイクルの変異である。

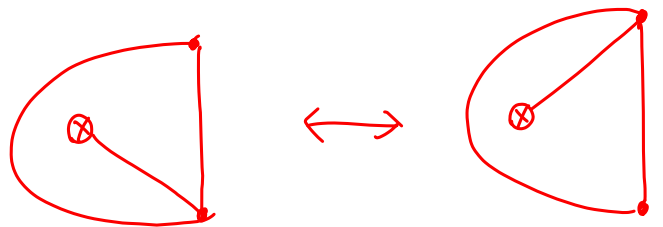
パス/サイクルの変異が モ/ミアルパートの変異を記述している。



单纯極 \otimes がある場合



orbifold point をもつ
曲面の三角形分割



一般クラスター代数
[Iwaki-Nakanishi 15]

定理 (I-N 2015)

α は Koike 2000 の公式に現われた量

$$\mathcal{S}_{+\delta}[e^{V_r}] = \mathcal{S}_{-\delta}[e^{V_r}] \left(1 + \alpha \mathcal{S}_{-\delta}[e^{V_{r_0}}]\right)^{-\langle r_0, r \rangle} \left(1 + \alpha^{-1} \mathcal{S}_{-\delta}[e^{V_{r_0}}]\right)^{-\langle r_0, r \rangle}$$

$\alpha = 1 \Leftrightarrow$ 特性指数の差 $\in \mathbb{Z}$

□

α は確定荷墨点の情報を持つ。

もともとの Motivation

Gaiotto-Moore-Neitzke に クラスターと関係があると書いてあった、

GMN では \hat{y}_i が実現されていた、

\hat{y}_i は Fock-Goncharov 座標、

GMN に \hat{y}_i の作り方と IN の作り方にはかうが、ある場合には一致する。